

AIRCRAFT DESIGN AND SYSTEMS GROUP (AERO)

Einfacher Flügelentwurf optimiert hinsichtlich Masse und Widerstand

Houssein Mahfouz

1. Examiner: Prof. Dr.-Ing. Dieter Scholz, MSME
2. Examiner: Prof. Dr.-Ing. Martin Wagner

Präsentation der Masterarbeit

Online, 2023-30-10

<https://nbn-resolving.org/urn:nbn:de:gbv:18302-aero2023-10-16.018>



Kurzreferat

Zweck – Optimierung der Parameter des Flügels eines Strahlverkehrsflugzeuges mit Gleichungen aus dem Flugzeugentwurf zur Flügelmasse und zum Luftwiderstand in einer Tabellenkalkulation (Excel) und mit deren Optimierer (Solver).

Methodik – Die Flügelmasse wird mit der Gleichung von Torenbeek (mit und ohne Flügelstrebe) und alternativ mit einer Gleichung aus dem Luftfahrttechnischen Handbuch (LTH) berechnet. Der Luftwiderstand wird aufgeteilt in Nullwiderstand, Induzierten Widerstand und Wellenwiderstand. Die jeweiligen Methoden zur Berechnung dieser Einzelwiderstände werden den Vorlesungen von Scholz entnommen. Der Flugzeugentwurf wird vereinfacht ohne die vielen hierarchisch gegliederten Iterationen abgebildet. Stattdessen wird für diesen einfachen Flügelentwurf nur eine Iteration genutzt. Es werden Vorgehensweisen mit Schneeballfaktor (Mass Growth Factor), mit den 1. Hauptsatz des Flugzeugentwurfs und mit beiden Vorgehensweisen kombiniert untersucht. Minimiert wird einerseits der Widerstand (Kraftstoffverbrauch) und andererseits die Abflugmasse, die als Proxy der Direct Operating Costs (DOC) angesehen werden kann.

Ergebnisse – Der einfache Ansatz zum Multidisciplinary Design Optimization (MDO) wird als Tabellenkalkulation „Wing-MDO“ zur Verfügung gestellt. Im Vergleich mit dem vollständigen Flugzeugentwurfs- und –optimierungsprogramm „Optimization in Preliminary Aircraft Design“ (OPerA) konnten die Ergebnisse aus dem einfacheren „Wing-MDO“ bestätigt oder darauf geeicht werden. Ein weiterer Vergleich ergab sich aus der Literaturrecherche. Für ein Flugzeug mit Parametern ähnlich dem Airbus A320 ergibt sich eine optimale Spannweite bei Minimierung des Widerstands von 42,52 m (-23,94 %) ohne Flügelstrebe und von 53,09 m (-24,50 %) mit Verwendung einer Flügelstrebe und bei Minimierung der Abflugmasse eine optimale Spannweite von 36,65 m (-8,76 %) bzw. von 44,20 m (-13,31 %). Die sich ergebenden Änderungen vom Widerstand bzw. von der Abflugmasse sind in Klammern angegeben.

Kurzreferat

Bedeutung für die Praxis – Mit „Wing-MDO“ steht ein einfaches und benutzerfreundliches Werkzeug in Excel zur Optimierung von grundlegenden Flügelparametern zur Verfügung.

Soziale Bedeutung – Die Optimierung eines Flugzeugs beginnt klassischerweise am Flügel. Dies ist aktuell auch beim neuen Projekt Boeing X-66A zu sehen. Die vorliegende Arbeit dient zur Einordnung derartiger Vorschläge und zeigt, dass Flügel hoher Spannweite (und Streckung) den Kraftstoffverbrauch und damit die CO₂-Emissionen und die Umweltwirkung deutlich senken können. Einfache Berechnungen dazu ermöglichen den öffentlichen Diskurs.

Originalität – Fachdisziplinen haben die Auswirkung ihrer Untersuchungen auf Flugzeugebene dargestellt, ohne dabei die Iterationen (Schneeballeffekte) des Flugzeugentwurfs zu berücksichtigen. Es konnte am Beispiel des Flügels aufgezeigt werden, wie Einzeleffekte zu Masse und Widerstand einfach aber korrekt auf die Flugzeugebene übertragen werden können.

Einfacher Flügelentwurf optimiert hinsichtlich Masse und Widerstand

Motivation

- In der Welt der Flugzeugentwicklung wird in der Regel zuerst der Flügel optimiert.
- Zentrale Herausforderung: Flügeldesign zu finden, das sowohl das erforderliche Gewicht des Flugzeugs tragen kann als auch ausreichenden Auftrieb erzeugt.
=> Zwei eng miteinander verknüpfte Disziplinen: Aerodynamik und Struktur
- Finanzieller Aspekt steht im Vordergrund.
=> Einbindung der Ökonomie als dritte Disziplin
- Um diese Disziplinen miteinander zu integrieren, wird die Methode der Multidisziplinären Designoptimierung (MDO) eingesetzt. Traditionell werden dafür numerische Methoden wie Computational Fluid Dynamics (CFD) und die Finite-Elemente-Methode (FEM) verwendet.
- Im Rahmen dieser Arbeit erfolgt die Untersuchung eines einfacheren Ansatzes zur Optimierung der Flügelparameter von Strahlverkehrsflugzeugen. Die primäre Zielfunktion besteht in der Minimierung des Widerstands, was wiederum den Energieverbrauch des Flugzeugs reduziert. Als alternative Zielfunktion kann die Abflugmasse verwendet werden, die als Ersatzgröße (Proxy) für die direkten Betriebskosten (Direct Operating Costs, DOC) dient.

Einfacher Flügelentwurf optimiert hinsichtlich Masse und Widerstand

Inhaltsverzeichnis

- Einleitung
- Flügelentwurf optimiert mit Wing-MDO
- Flügelentwurf optimiert im Flugzeugentwurf mit OPerA
- Vergleich der Ergebnisse von Wing-MDO und OPerA
- Vergleich der Ergebnisse von Wing-MDO und der Literaturrecherche
- Effizienter Flügel hoher Spannweite für die nächste Flugzeuggeneration
- Fazit und Ausblick
- Kontakt
- Literaturverzeichnis

Einfacher Flügelentwurf optimiert hinsichtlich Masse und Widerstand

Einleitung

Einleitung

Ziele und Forschungsfrage

- Entwicklung eines fundierten Verständnisses für multidisziplinäre Designoptimierung im Flugzeugentwurf
- Berücksichtigung von Gleichungen aus dem Flugzeugentwurf (Nullauftriebswiderstand, Wellenwiderstand, induzierter Widerstand und Flügelmasse) zur Modellierung von Wing-MDO in Excel
- Forschungsfrage:
 - Ist es möglich, praxisgerechte, optimale Flügelparameter zu erhalten, wenn statt der numerischen Methoden (CFD und FEM) nur Gleichungen aus dem Flugzeugentwurf zur Anwendung kommen und der Flugzeugentwurf lediglich durch einen Schneeballfaktor (Mass Growth Factor) berücksichtigt wird?
- Optimierung nur mit Excel-Solver und Ermittlung relevanter Zielfunktionen für Ergebnisse
- Vergleich des zu erstellenden Programms Wing-MDO mit dem bereits vorhandenen Flugzeugentwurfsprogramm OPerA
- Literaturrecherche zur Unterstützung des Vergleichs

Einfacher Flügelentwurf optimiert hinsichtlich Masse und Widerstand

Flügelentwurf optimiert mit Wing-MDO

Flügelentwurf optimiert mit Wing-MDO

Beschreibung von Wing-MDO

- Multidisziplinäres Designoptimierungsprogramm
- Ziel: Optimierung der Flügelgeometrie von Strahlverkehrsflugzeugen für geringen Widerstand und minimales Gewicht
- Benutzerfreundliche Excel-Datei
- Berechnung verschiedener Ergebnisse, darunter Flügelmasse, Nullwiderstand, Wellenwiderstand, induzierter Widerstand, Widerstandsbeiwert und Widerstand
- Zwei Flügelmasse-Schätzungsmethoden:
 - Torenbeek-Methode
 - LTH-Methode
- 20 Iterationsschritte zur Flügelmassenermittlung
- Verwendung des Excel Solver als leistungsstarkes Optimierungstool

Flügelentwurf optimiert mit Wing-MDO

Beschreibung von Wing-MDO

- Durchführung von Parametervariationen:
 - Zur Untersuchung klassischer Kompromisse beim Flügelentwurf
 - Variierende Parameter: Spannweite, relative Profildicke, Zuspitzung, Pfeilung, Flächenbelastung, Machzahl und Flughöhe
 - Einstellung des Variationsbereichs durch den Benutzer
- Zwei Programmversionen:
 - Wing-MDO-1: Schwerpunkt auf Widerstandsminimierung
 - Wing-MDO-2: Bewältigung der Herausforderungen bei der Minimierung der Abflugmasse

Flügelentwurf optimiert mit Wing-MDO

Beschreibung von Wing-MDO

- Wing-MDO-1 Layout (Screenshot):

Wing-Multidisciplinary Design Optimization-1

Constant Parameters		
temperature at sea level	T_0	288,15 K
density at sea level	ρ_0	1,225 kg/m ³
earth acceleration	g	9,81 m/s ²
Input Parameters		
aircraft name	A320-200	
airfoil name	nach OPerA	
Wing mass calculation method	Torenbeek method	
How are aspect ratio, A and span, b calculated?	Given: b, calculated: A	
give span to calculate aspect ratio	b_{given}	34,1 m
give aspect ratio to calculate span	A_{given}	9,5
thickness ratio	t/c	0,12
position of maximum thickness	x_t	0,45
ratio of relative wing thickness, root over tip	k_{loc}	1,3
taper ratio	λ	0,213
sweep angle of the 25% line	Φ_{25}	25 °
equivalent fuselage diameter	d_f	4,04 m
maximum take-off mass	m_{MTO}	73500 kg
operating empty mass	m_{OE}	41244 kg
maximum zero-fuel mass	m_{MZP}	60500 kg
wing loading	m_{MTO}/S_w	600,49 kg/m ²
wing mass	m_{W}	5902 kg
critical Mach number, fix	$M_{crit,fix}$	0,6
A_wave	A_wave	0,000885
B_wave	B_wave	3,734
Mach number	M	0,76
cruise altitude	H	39000 ft
proportion of laminar flow	$k_{laminar}$	0,2
interference factor	Q	1
wing with spoilers?		yes
number of engines on the wing?		2
is the landing gear mounted on the wing?		no

Source:
Aircraft is given, then: "Which Airfoil on which Aircraft?" check at <http://links.ProfScholz.de> => Airfoil

Excel-Table for OPerA, tab: Airbus sources
 Excel-Table for OPerA, tab: Airbus sources
 Excel-Table for OPerA, tab: Estimation of General Parameter
 Excel-Table for OPerA, tab: Estimation of General Parameter
 Lecture Notes "Aircraft Design"
 Excel-Table for OPerA, tab: Estimation of General Parameter
 Excel-Table for OPerA, tab: Estimation of General Parameter
 Excel-Table for OPerA, tab: Airbus sources
 Excel-Table for OPerA, tab: Max. glide Ratio in Cruise
 Semicircular flight rules for IFR: e.g. 35000 ft, 36000 ft, 37000 ft ...

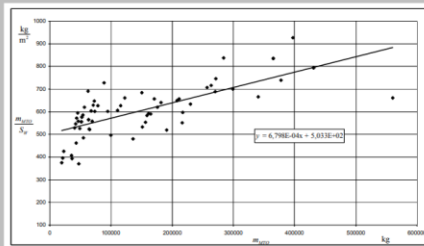


Fig. 5.11 Wing loading as a function of maximum take-off mass (data from Jenkinson 1999)

	M _{crit} for different aircraft models to approximate wave drag				
	A320-200	B727-200	B737-800	C-130H	BAe 146
M_{crit}	0,60	0,70	0,60	0,49	0,53

Table 1	Values of A _{wave} and B _{wave} for different airplane models to approximate the wave drag				
	A320-200	B727-200	B737-800	C-130H	BAe 146
A _{wave}	0,000885	0,000766	0,001171	0,001201	0,001765
B _{wave}	3,734	5,257	3,543	3,126	3,457

- Ähnlichkeit in Benutzeroberfläche und Tabellenstruktur von Wing-MDO-1 und Wing-MDO-2

Flügelentwurf optimiert mit Wing-MDO

Wing-MDO-1

- Verwendung von Schneeballfaktor $k_{MG,i}$ zur Berechnung der Änderung der Flügelmasse zwischen den Iterationsschritten:

$$k_{MG,i} = \frac{m_{MTO,i}}{m_{MPL}} \quad (1)$$

- Berechnung der neuen Startmasse zwischen den Iterationsschritten:

$$m_{MTO,i+1} = m_{MTO,i} + k_{MG,i} \cdot (-m_W + m_{W,i}) \quad (2)$$

Flügelentwurf optimiert mit Wing-MDO

Wing-MDO-2

- Hauptziel: Problemlösung bei der Abflugmassenminimierung mit Wing-MDO-1
 - Festgestellte Probleme mit Wing-MDO-1:
 - Spannweite tendiert gegen Null
 - Erheblicher Anstieg der relativen Profildicke
 - Ursache: Nichtberücksichtigung von Kraftstoffmasse in der Abflugmassenberechnungsformel von Wing-MDO-1

- Berechnung der Abflugmasse in Wing-MDO-2 mithilfe des „1. Hauptsatz des Flugzeugentwurfs“:

$$m_{MTO} = m_{MPL} / (1 - m_F / m_{MTO} - m_{OE} / m_{MTO}) \quad (3)$$

- Berechnung der neuen Betriebsleermasse:

$$m_{OE,i+1} = m_{OE,i} + k_{MG,i} \cdot (-m_W + m_{W,i}) \quad (4)$$

- Ergebnisse zeigen, dass sowohl k_{MG} als auch (3) die Flügelmasseänderung überbewerten.
=> Einführung eines Abminderungsfaktors $k_{k,MG}$ in (4):

$$m_{OE,i+1} = m_{OE,i} + k_{k,MG} \cdot k_{MG,i} \cdot (-m_W + m_{W,i}) \quad (5)$$

Flügelentwurf optimiert mit Wing-MDO

Wing-MDO-2

- Identifizierung von $k_{k,MG}$, sodass Wing-MDO-2 und OPerA gleiche Spannweite für einen freitragenden Flügel bei der Minimierung der Abflugmasse erreichen $\Rightarrow (k_{k,MG} = 0,855)$
- Einführung eines Dämpfungsfaktors $k_{damping}$ in (3) zur Bewältigung von aufschwingender Iteration:

$$m_{MTO,i+1} = m_{MTO,i} + \left(\frac{m_{MPL}}{1 - \left(\frac{m_F}{m_{MTO}}\right)_i - \left(\frac{m_{OE}}{m_{MTO}}\right)_i} - m_{MTO,i} \right) \cdot k_{damping} \quad (6)$$

Flügelentwurf optimiert mit Wing-MDO

Optimierungsergebnisse

- Konkretes Beispiel:
 - Optimierung für freitragenden und abgestützten Flügel basierend auf der Standard-konfiguration der A320-200
- Anwendung der LTH-Methode:
 - Streckungswerte außerhalb des zulässigen Bereichs in diesem Beispiel
 - => keine aussagekräftigen Ergebnisse
 - => LTH-Methode nicht weiter berücksichtigt
- Torenbeek-Methode gewählt zur Fortsetzung der Optimierung

Flügelentwurf optimiert mit Wing-MDO

Optimierungsergebnisse (Wing-MDO-1)

- Ergebnisse der Widerstandsminimierung eines freitragenden Flügels:

	b_{given} [m]	t/c [-]	λ [-]	ϕ_{25} [°]	M [-]	H [m]	A [-]	m_{MTO} [kg]	S_W [m ²]	m_W [kg]	D_{min} [N]	% Unterschied des Widerstands nach der Optimierung
f (b)	50,20	-	-	-	-	-	15,57	97214	161,89	11903	28702	-11,54
f (t/c)	-	0,190	-	-	-	-	9,51	73400	122,23	5876	31236	-3,73
f (λ)	-	-	0	-	-	-	9,30	75110	125,08	6323	31317	-3,48
f (ϕ_{25})	-	-	-	12,50	-	-	9,26	75385	125,54	6395	31731	-2,20
f (M)	-	-	-	-	0,73	-	9,07	77008	128,24	6818	31392	-3,25
f (H)	-	-	-	-	-	6858	9,07	77008	128,24	6818	25224	-22,26
f (b, t/c)	51,11	0,186	-	-	-	-	17,13	91545	152,45	10516	27320	-15,80
f (b, λ)	50,70	-	0	-	-	-	16,34	94457	157,30	11233	27399	-15,55
f (b, ϕ_{25})	51,17	-	-	9,92	-	-	16,64	94522	157,41	11249	27603	-14,93
f (b, M)	50,85	-	-	-	0,71	-	15,82	98170	163,48	12134	27316	-15,81
f (b, H)	38,98	-	-	-	-	7571	11,06	82537	137,45	8245	25022	-22,88
f (t/c, ϕ_{25})	-	0,186	-	12,09	-	-	9,68	72134	120,12	5544	30720	-5,32
f (b, t/c, ϕ_{25})	52,38	0,180	-	10,66	-	-	18,29	90090	150,03	10155	26515	-18,28
f (b, ϕ_{25} , M)	52,91	-	-	9,26	0,71	-	17,38	96738	161,09	11788	26005	-19,85
f (t/c, ϕ_{25} , M)	-	0,189	-	11,33	0,72	-	9,70	71980	119,87	5503	29502	-9,07
f (t/c, ϕ_{25} , H)	-	0,138	-	21,54	-	7076	9,28	75240	125,30	6357	25130	-22,55
f (b, t/c, ϕ_{25} , M)	54,74	0,185	-	9,84	0,70	-	19,50	92255	153,63	10691	24789	-23,60
f (b, t/c, ϕ_{25}, H)	42,52	0,149	-	14,45	-	8570	13,22	82157	136,82	8148	24677	-23,94

Flügelentwurf optimiert mit Wing-MDO

Optimierungsergebnisse (Wing-MDO-2)

- Ergebnisse zur Minimierung der Abflugmasse eines freitragenden Flügels:

	b_{given} [m]	ϕ_{25} [°]	M [-]	A [-]	S_w [m ²]	m_w [kg]	$m_{\text{MTO,min}}$ [kg]	% Unterschied der Abflugmasse nach der Optimierung
f (b)	35,20	-	-	10,90	113,63	7130	68236	-7,16
f (ϕ_{25})	-	27,50	-	10,16	114,38	6957	68687	-6,55
f (M)	-	-	0,74	10,21	113,82	6817	68353	-7,00
f (b, ϕ_{25}, M)	36,65	6,95	0,73	12,03	111,68	6986	67065	-8,76

Einfacher Flügelentwurf optimiert hinsichtlich Masse und Widerstand

Flügelentwurf optimiert im Flugzeugentwurf mit OPerA

Flügelentwurf optimiert im Flugzeugentwurf mit OPerA

Beschreibung von OPerA

- Entwicklung von OPerA (Optimization in Preliminary Aircraft Design) im Rahmen der Doktorarbeit von Michaela Nita
- Hauptziel: Optimierung des vorläufigen Flugzeugentwurfsprozesses und Bereitstellung einer automatisierten Lösung für das Flugzeugdesign
- OPerA umfasst verschiedene Module wie Parameterschätzungen, Vorläufige Dimensionierung, Flächenabschätzung, Interferenzfaktoren, Widerstandsabschätzung, Massenberechnung, Kraftstoffverbrauchsberechnung, Direktbetriebskostenberechnung und mehr.
- Zwei Arten der Optimierung: integrierte VBA-Algorithmen oder Schnittstelle mit Optimus
- Benutzer kann Steuerungsparameter, freie Parameter und Zielfunktionen (z.B. Kostenminimierung oder Kraftstoffmassereduzierung) festlegen, um optimale Flugzeugparameter gemäß Missionsanforderungen zu ermitteln.

Flügelentwurf optimiert im Flugzeugentwurf mit OPerA

Optimierung eines freitragenden Flügels basierend auf A320-200

- Ergebnisse zur Minimierung der Kraftstoffmasse:

	A	ϕ_{25}	M	b	m_{MTO}	S_w	m_w	$m_{F, \min}$	% Unterschied der Kraftstoffmasse nach der Optimierung
	[-]	[°]	[-]	[m]	[kg]	[m ²]	[kg]	[kg]	
f(A)	18,56	-	-	50,24	81669	136,01	11417	13466	-16,18
f(ϕ_{25})	-	21,23	-	34,48	77296	125,15	6659	16045	-0,13
f(M)	-	-	0,72	34,68	76025	126,60	6238	15774	-1,82
f(A, ϕ_{25} , M)	19,88	20,09	0,68	49,62	77056	123,83	9920	12674	-21,12

- Ergebnisse zur Minimierung der Abflugmasse:

	A	ϕ_{25}	M	b	S_w	m_w	$m_{MTO, \min}$	% Unterschied der Abflugmasse nach der Optimierung
	[-]	[°]	[-]	[m]	[m ²]	[kg]	[kg]	
f(A, ϕ_{25} , M)	12,01	7,04	0,65	36,65	111,92	6077	73594	-5,29

- Ergebnisse zur Minimierung der DOC:

	A	ϕ_{25}	M	b	m_{MTO}	S_w	m_w	$C_{DOC, \min}$	% Unterschied der DOC nach der Optimierung
	[-]	[°]	[-]	[m]	[kg]	[m ²]	[kg]	[€/NM/t]	
f(A, ϕ_{25} , M)	13,22	13,22	0,69	39,35	75507	117,06	7650	1,16	-1,98

Einfacher Flügelentwurf optimiert hinsichtlich Masse und Widerstand

Vergleich der Ergebnisse von Wing-MDO und OPerA

Vergleich der Ergebnisse von Wing-MDO und OPerA

Wing-MDO im Vergleich zu OPerA

- Ergebnisse zur Minimierung von Widerstand, Kraftstoffmasse, Abflugmasse und DOC eines freitragenden Flügels basierend auf A320-200:

	Zielfunktionen mit % Unterschied nach der Optimierung	b [m]	ϕ_{25} [°]	M [-]	A [-]	m_{MTO} [kg]	S_w [m ²]	m_w [kg]	
$f(b, \phi_{25}, M)_{Wing-MDO-1}$	D_{min}	(-19,85)	52,91	9,26	0,71	17,38	96738	161,10	11788
$f(A, \phi_{25}, M)_{OPerA}$	$m_{F,min}$	(-21,12)	49,62	20,09	0,68	19,88	77056	123,83	9920
$f(b, \phi_{25}, M)_{Wing-MDO-2}$	$m_{MTO,min}$	(-8,76)	36,65	6,95	0,73	12,03	67065	111,68	6986
$f(A, \phi_{25}, M)_{OPerA}$	$m_{MTO,min}$	(-5,29)	36,65	7,04	0,65	12,01	73594	111,92	6077
$f(A, \phi_{25}, M)_{OPerA}$	$C_{DOC,min}$	(-1,98)	39,35	13,22	0,69	13,22	75507	117,06	7650

- Vergleichbare Ergebnisse von Wing-MDO und OPerA
- Auswahl abhängig von der spezifischen Zielfunktion:
 - Widerstandsminimierung: Wing-MDO-1 aufgrund schnellerer Berechnungen
 - Minimierung der Abflugmasse (Ersatzgröße für DOC): Wing-MDO-2 geeignet
 - Vollständiger Flugzeugentwurf mit vielen Iterationen und DOC-Berechnung: Verwendung von OPerA

Einfacher Flügelentwurf optimiert hinsichtlich Masse und Widerstand

Vergleich der Ergebnisse von Wing-MDO und der Literaturrecherche

Vergleich der Ergebnisse von Wing-MDO und der Literaturrecherche

Masterarbeit von Hoogervorst 2015

- Titel: Wing Aerostructural Optimization Using the Individual Discipline Feasible Architecture
- Ziel: Minimierung des Widerstands durch die Optimierung der Flügelgeometrie des Airbus A320
- Verwendeter Ansatz: Anwendung der „Individual Discipline Feasible“ (IDF)-Architektur zur Lösung eines gradientenbasierten multidisziplinären Designoptimierungsproblems
- Vorteil der IDF-Architektur: Erfordert keine gekoppelte Sensitivitätsanalyse für die gradientenbasierte Optimierung, was eine größere Flexibilität bei der Wahl von Software für disziplinäre Analysen ermöglicht und die Gesamtberechnungskosten reduziert
- Verwendete Softwaretools:
 - Aerodynamik: SU2-Software für Verformung von Oberflächen- und Volumengittern, Berechnung von Strömungseigenschaften und Ableitung von Sensitivitäten
 - Struktur: FEMWET-Software zur Modellierung der statischen aeroelastischen Verformung und aeroelastischen Achse des Flügels

Vergleich der Ergebnisse von Wing-MDO und der Literaturrecherche

Wing-MDO-1 im Vergleich zu Hoogervorst 2015

- Ergebnisse der Widerstandsminimierung eines freitragenden Flügels erzielt durch Wing-MDO-1 und Hoogervorst 2015:

	b/2 [m]	ϕ_{25} [°]	A [-]	m_{MTO} [kg]	S_w [m ²]	m_w [kg]	C_D [-]
Wing-MDO-1	21,26	14,4	13,22	82157	68,40	8148	0,0136
Hoogervorst 2015	19,57	20,2	11,55	70948	66,32	8270	0,0142
% Differenz	8,64	28,71	14,46	15,80	3,14	1,48	4,23

- Vergleichbare Ergebnisse trotz unterschiedlicher Optimierungsansätze
- Optimierung durch Wing-MDO-1 ist schneller als die in der Studie von Hoogervorst 2015 durchgeführte Optimierung

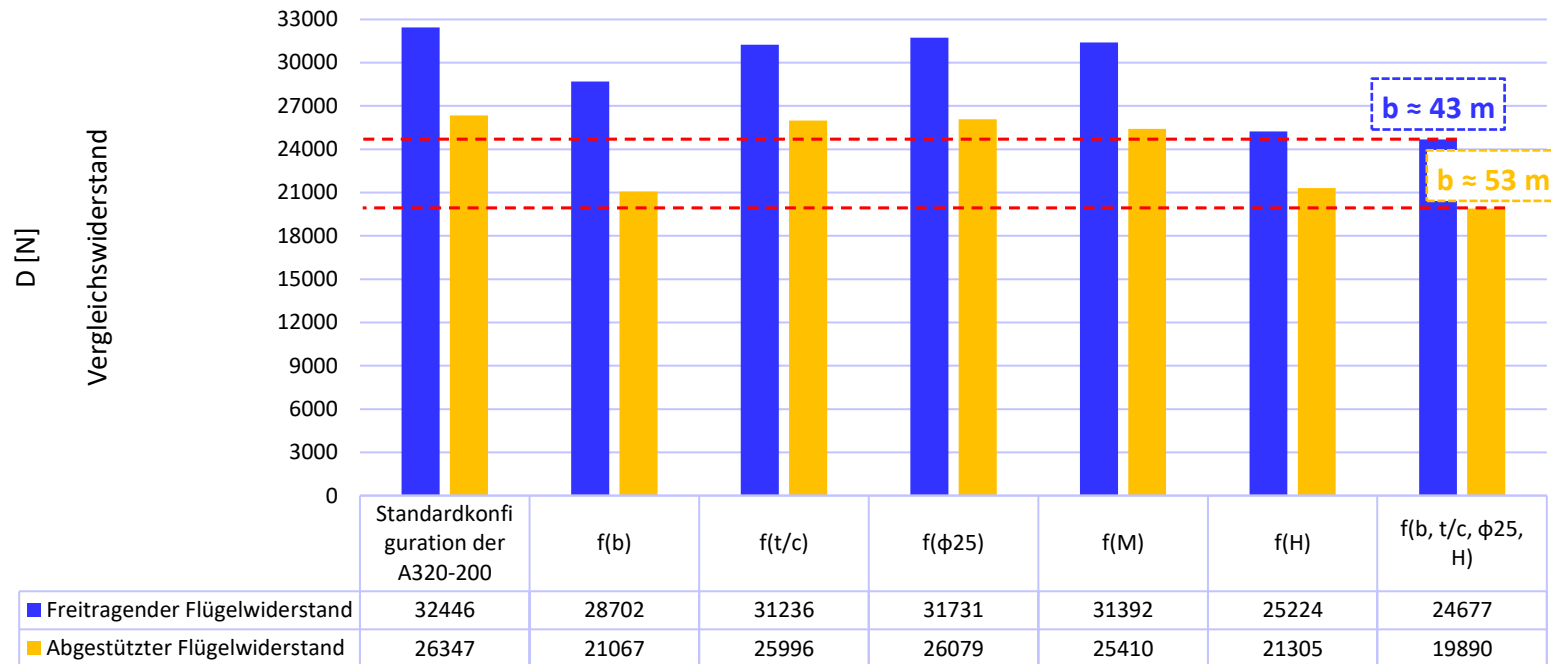
Einfacher Flügelentwurf optimiert hinsichtlich Masse und Widerstand

Effizienter Flügel hoher Spannweite für die nächste Flugzeuggeneration

Effizienter Flügel hoher Spannweite für die nächste Flugzeuggeneration

Effizienter Flügel

- Widerstandswerte: Optimierung vs. Standard A320-200 für freitragende und abgestützte Flügel:



- Abgestützte Flügel sind effizienter als freitragende Flügel
- Empfohlene Spannweite: 36 m bis 52 m (ICAO-Code D)

Effizienter Flügel hoher Spannweite für die nächste Flugzeuggeneration

Boeing's Innovatives Flugzeugprojekt (Boeing X-66A)

- Boeing arbeitet an einem Nachfolger für die B737 Max in Kooperation mit der NASA. Dieses Projekt namens „Sustainable Flight Demonstrator“ nutzt das innovative „Transonic Truss-Braced Wing“-Konzept, bekannt als X-66A.
- Boeing X-66A soll mit einem schmalen, abgestrebten Flügel hoher Streckung ausgestattet werden (Spannweite: ca. 52 m).
- Ziel: Reduzierung des Luftwiderstands und Integration effizienterer Komponenten (z. B. Antriebssysteme)



Boeing X-66A (Boeing 2019)

Einfacher Flügelentwurf optimiert hinsichtlich Masse und Widerstand

Fazit und Ausblick

Einfacher Flügelentwurf optimiert hinsichtlich Masse und Widerstand

Fazit und Ausblick

- Diese Masterarbeit hilft beim Verständnis der Flügeloptimierung im Flugzeugentwurf und zeigt auf, dass praxismgerechte und optimale Flügelparameter erreicht werden können, indem ausschließlich Gleichungen aus dem Flugzeugentwurf anstelle von numerischen Methoden verwendet werden. Dabei wird der Flugzeugentwurf durch einen Schneeballfaktor (Mass Growth Factor) berücksichtigt.
- Zukünftige Forschungsbemühungen:
 - Identifizierung verschiedener Werte für den Parameter $k_{k,MG}$ zur Erreichung spezifischer Ziele:
 1. Erzielen vergleichbarer Ergebnisse bei der Widerstandsminimierung in Wing-MDO-1 und Wing-MDO-2
 2. Sicherstellen vergleichbarer Ergebnisse zwischen Wing-MDO-2 und OPerA für verschiedene Flugzeugmodelle und eine Vielzahl von Parametern, wobei nicht nur die Spannweite berücksichtigt wird
 - Untersuchung der Integration von abgestützten Flügeln und effizienten Triebwerken in realen Flugzeugdesigns

Einfacher Flügelentwurf optimiert hinsichtlich Masse und Widerstand

Kontakt

Houssein.Mahfouz@haw-hamburg.de

<http://library.ProfScholz.de>

Quote this document:

Mahfouz, Houssein, 2023. *Einfacher Flügelentwurf optimiert hinsichtlich Masse und Widerstand*. Präsentation der Masterarbeit. Aircraft Design and Systems Group (AERO), HAW Hamburg, 2023-10-30. Available from: <https://nbn-resolving.org/urn:nbn:de:gbv:18302-aero2023-10-16.018>

© Copyright by Author, CC BY-NC-SA, <https://creativecommons.org/licenses/by-nc-sa/4.0>



Einfacher Flügelentwurf optimiert hinsichtlich Masse und Widerstand

Literaturverzeichnis

BARDAN, Roxana, 2023. NASA Issues Award for Greener, More Fuel-Efficient Airliner of Future. NASA

Verfügbar unter: <https://go.nasa.gov/3QiFStn>

Archiviert als: <https://perma.cc/YMC7-QTNP>

BOEING, 2019. Spreading our wings: Boeing unveils new Transonic Truss-Braced Wing.

Verfügbar unter: <https://bit.ly/3qXKgeP>

Archiviert als: <https://perma.cc/5KA2-7HG9>

EBNER, Ulrike, 2023. Transonic Truss-Braced Wing heißt nun X-66A. In: Flugrevue, 2023-06-13.

Verfügbar unter: <https://bit.ly/3RXVVxR>

Archiviert als: <https://perma.cc/BP9N-A8Z2>

NITA, Mihaela Florentina, 2013. Contributions to Aircraft Preliminary Design and Optimization. Dissertation.

München: Verlag Dr. Hut.

Verfügbar unter: https://purl.org/aero/NITA_DISS_2013

SEBAYANG, Andreas, 2023. Boeing und Nasa wollen "Sustainable Flight Demonstrator" bis 2030 in die Luft bringen. Airliners.de.

Verfügbar unter: <https://bit.ly/48Wf09H>

Archiviert als: <https://perma.cc/2LJX-UL8G>